

II-119 抵抗係数が場所的に変化する場合の塩水楔について

東京工業大学 正員 植岡博美

現実の河川において、塩水くさびの侵入長をみつめることはかなり重要な問題である。しかし、淡塩水の境界面の抵抗係数が不明であるために、ある程度、現在問題となっている河川のデータがないと、侵入長の決定は一般に困難である。また、実際には抵抗係数の値そのものも、塩水楔の測定値より逆算して定めている場合が多い。ここでは報告者の提案したような抵抗係数の表示式が、塩水くさびの場合にも成立するものと仮定した場合、塩水くさびの形状がどのようになるかということを検討し、実用的な応用の可能性について述べる。

塩水くさびの基本微分方程式は(1)で与えられる。(ただし、広中の一様矩形断面の場合)

$$\frac{d\eta}{d\xi} = \frac{\frac{1}{2}f_i[\eta_0 - i\xi - \frac{1}{2}\eta]}{(\eta_0 + i\xi - \eta)(\eta^2 - 1)} \quad (1)$$

ここで、 $\eta_0 = \frac{h_0}{h_c}$ ,  $\eta = h/h_c$ ,  $h_c = \sqrt{g_i^2/g_{\infty}^2}$ ,  $\xi = x/h_c$ ,  $f_i$ : 境界面の抵抗係数,  $a$ : 境界面の抵抗係数と底の抵抗係数の比,  $i$ : 密度勾配である。境界条件および記号は図1に示す。

通常用いられてゐる式は、(1)式において、 $f_i = \text{一定}$ とし、 $i = 0$ の場合について積分すれば、

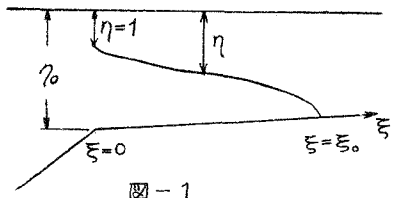


図-1

$$\xi_0 = \frac{1}{f_i} \left[ \frac{1}{10} \eta_0^4 - \eta_0 + \frac{3}{2} - \frac{3}{5} \frac{1}{\eta_0} \right] \quad (2)$$

$$\xi = \frac{1}{f_i} \left[ \frac{1}{2} \eta^2 - 2\eta - \frac{2}{5} \frac{\eta^5}{\eta_0} + \frac{\eta^2}{\eta_0} + \frac{3}{2} - \frac{3}{5} \frac{1}{\eta_0} \right] \quad (3)$$

が得られる。

次に、抵抗係数が一定ではなく、<sup>例えば</sup>フルード数、レイノルズ数によって変化するとした場合には、一般的には解くことがむずかしいが、報告者の提案した形式、すなわち、 $f_i = A/Re \cdot F_i^2$  を用いると、積分が可能である。この場合、注意しなくてはならないのは、i) この形は、下層の水深が一定の場合について得られたものであるので、下層の水深が変化する場合も適用することが可能であるか、ii) 定数Aの値はどのように探がべきか、iii) 実際の塩水くさびにおいては、多少とも、密度勾配が存在しているから、その影響をどのように見つめるべきか、等の諸点である。これらの諸点について考察を加えなくてはならないのは、ややもすれば、問題を複雑にしてくるかのようであるが、目的は、流量、各断面の直等高が与えられた時に、直ちに塩水くさびの侵入長の大略を求めるところにあるわけである。今、 $F_i^2 = \eta^3$  であり、流量が不变の場合、 $Re$  は一定であるから、

$$f_i = A \eta^3, \quad A = \frac{a}{Re} \quad (4)$$

とおいて、これを(1)に代入して、やはり  $i = 0$  の場合について積分を行なえば、(2), (3) 式に対応するものとして、次の二つの式を得る。

$$\xi \frac{\alpha}{Re} = \left[ \eta_0 - \frac{1}{\eta_0^2} - 3 + \frac{3}{\eta_0} \right] \quad (5)$$

$$\xi \frac{\alpha}{Re} = \left[ 27 + \frac{1}{\eta_0^2} - \frac{7^2}{\eta_0} - \frac{2}{\eta_0} - \frac{3}{\eta_0} - 3 \right] \quad (6)$$

(3) と (6) について、得られる塩水くさびの形状は、図-2 に示してある。ただし、横軸には、 $m/f_i^2$  と  $\xi \frac{\alpha}{Re}$  をとり、たて軸には  $\eta$  をとり、パラメータとしては  $\eta_0$  を用いてある。ただし、くさびの全長は均しくとってある。この為に(3)式においてはあらわれてこない  $f_i$  を用いて調整した。

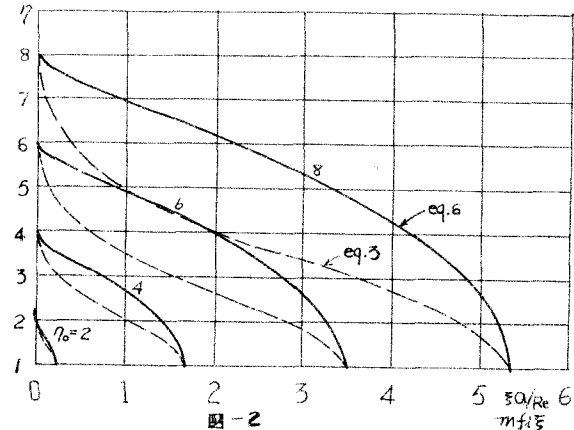


図-2

-3 のようになり、少しふくらみすぎるようである。又、図-4 には、 $\eta_0$  と  $\xi \frac{\alpha}{Re}$  との関係が示されており、 $\eta_0$  が増加すると、 $\xi \frac{\alpha}{Re}$  の値はほとんど線型に増大していくようである。

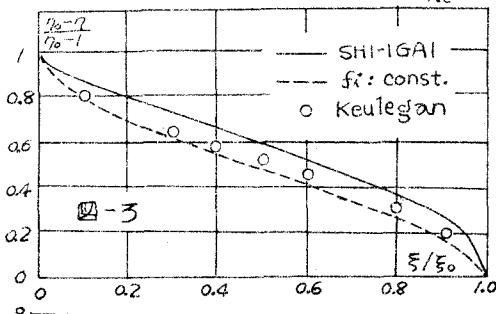


図-3

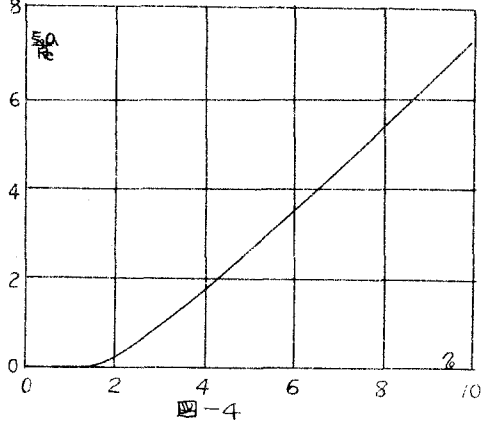


図-4

図-2 を見ると、(6)式の方が、全体的にふくらんでおり、河口における境界面の変化が、(3)式、すなわち  $f_i = \text{一定}$  として計算した場合ほどはげしくはない。この点は現状と適合しているようである。しかし、プロットのやり方から、Farmer-Morgan の得た形状、および Keulegan の提唱する平均形状と比較してみると、Farmer-Morgan の実測値は、中間位になるものもある。又、図-4 には、 $\eta_0$  と  $\xi \frac{\alpha}{Re}$  との関係が示されており、 $\eta_0$  が増加すると、 $\xi \frac{\alpha}{Re}$  の値はほとんど線型に増大していくようである。

残された問題は、 $\alpha$  の値であるが、実験室で得られた値から、現実の河川について得られた値までよく説明するのは  $\alpha = 12$  の場合である。しかし、これは、現実の河川のみに適用する場合には  $\alpha = 72$  とするとよい。このことは、 $\alpha$  の値が絶対的な定数ではなくて、更に  $Re$ ,  $F_i$  などの影響を受けているとも考えられるが、又、得られた実測値が、非常に正確なものであるとはいえないし、実際には乱れのために、境界面附近に相当な密度勾配が存在しているとも考えられるので、いずれの影響が大きいかは、今後の研究にまたねばならない。

この研究は文部省科学試験研究費の補助を受けた。